

- [4] Пилипецкий Н. Ф., Поповичев В. И., Рагульский В. В. — ДАН СССР, 1981, т. 257, с. 1116.
- [5] Зельдович Б. Я., Шкунов В. В. — Квант. электрон., 1977, т. 4, с. 2353.
- [6] Басов Н. Г., Зубарев И. Г., Миронов А. Б., Михайлов С. И., Окулов А. Ю. — ЖЭТФ, 1980, т. 79, с. 1678.
- [7] Рагульский В. В. — Письма в ЖЭТФ, 1980, т. 6, с. 687.
- [8] Маег M. — Phys. Rev., 1967, v. 166, p. 113.

Поступило в Редакцию 21 июня 1984 г.

УДК 535.853

Онн. и спектр., т. 58, с. 6, 1985

## О ЧУВСТВИТЕЛЬНОСТИ ДВУХЛУЧЕВОЙ СПЕКТРОИНТЕРФЕРОМЕТРИИ В ЛИНЕЙЧАТОМ СПЕКТРЕ

Морозов А. О., Самохин А. Н.

Достигнутая чувствительность как классической двухлучевой спектроинтерферометрии в сплошном спектре [1], так и резонансной интерферометрии в лазерном свете [2], обычно значительно меньше принципиально возможной. Это связано с тем, что по различным причинам не удается зондировать плазму или пары близко к максимуму рефракции исследуемых атомов, особенно при узких линиях поглощения. При двухлучевой спектроинтерферометрии в линейчатом спектре газоразрядных источников приблизиться к области максимальной рефракции атомов исследуемого элемента можно, например, зондируя объект излучением изотопа этого элемента [3], используя эффект Зеемана или просто подходящую линию другого элемента.

При этом открывается возможность одновременной диагностики нескольких компонентов плазмы или паров в тех областях спектра, где нет лазеров (например, в вакуумном ультрафиолете), с чувствительностью, не зависящей от разрешающей способности спектрального прибора.

В данной работе мы попытаемся теоретически обосновать возможность осуществления двухлучевой спектроинтерферометрии в линейчатом спектре с чувствительностью, близкой к физически предельной, в достаточно широком диапазоне измеряемых значений  $Nfl$  и получить формулы для перехода от сдвига интерференционных полос к свойствам объекта для фойхтовских контуров зондирующей и исследуемой линий.

Распределение освещенности в интерференционной картине (ИК) для линейчатого зондирующего излучения при наличии поглощающего самосветящегося фазового объекта в одном из пучков можно получить аналогично [4]

$$I_{uk} = (I_1 + I_2 + I_3) [1 + V \cos 2\pi(vz - S)],$$

где выражения для видности  $V$  и сдвига полос  $S$  имеют следующий вид:

$$V = \frac{2\sqrt{m}|i_{12}|}{mi_1 + 1 + i_3}, \quad (1)$$

$$S = \frac{1}{2\pi} \arg i_{12} \equiv \frac{1}{2\pi} \arctg \frac{\operatorname{Im} i_{12}}{\operatorname{Re} i_{12}}. \quad (2)$$

Здесь  $I_1, I_2, I_3$  — освещенности плоскости наблюдения зондирующими пучком (с учетом поглощения в объекте), пучком сравнения и собственным излучением объекта соответственно;  $m$  — отношение освещенностей плоскости объекта зондирующими пучком (до прохождения объекта) и соответствующей плоскости в плече сравнения опорным пучком;  $i_3 = I_3/I_2$ ;  $v$  — пространственная частота интерференционных полос;  $z$  — координата, отсчитываемая на фотопластинке.

в направлении, ортогональном полосам интерференции. Интеграл  $i_1$  в формуле (1) представляет собой интегральную яркость пучка, прошедшего через объект

$$i_1 = \frac{1}{\sqrt{\pi}} \int_{-\infty}^{\infty} j_1(x, \alpha_1) \exp[-2a j_0(gx + \Delta, \alpha_0)] dx. \quad (3)$$

Для интеграла  $i_{12}$  получается следующее выражение:

$$i_{12} = \frac{1}{\sqrt{\pi}} \int_{-\infty}^{\infty} |j_1(x, \alpha_1) \exp[-aW(gx + \Delta + i\alpha_0)]| dx. \quad (4)$$

В формулах (3), (4)  $j_0$  и  $j_1$  — нормированные на площадь функции, описывающие контуры исследуемой и зондирующей линий соответственно;  $W(\xi)$  — интеграл вероятности [5]. Переменная интегрирования  $x$  связана с длиной волны  $\lambda$  следующим образом:  $x = (4 \ln 2)^{1/2} (\lambda_1 - \lambda) / \delta\lambda_D^{(1)}$ , а смещение максимумов контуров  $\Delta = (4 \ln 2)^{1/2} (\lambda_0 - \lambda_1) / \delta\lambda_D^{(0)}$ , где  $\lambda_1, \lambda_0$  — длины волн зондирующей и исследуемой линий, а  $\delta\lambda_D^{(1)}, \delta\lambda_D^{(0)}$  — ширины их допплеровских составляющих. Отношение последних определяет параметр  $g = \delta\lambda_D^{(1)} / \delta\lambda_D^{(0)}$ . Величины  $\alpha_0, \alpha_1$  пропорциональны отношениям ширин лорентцевской и допплеровской составляющих фойхтовских контуров исследуемой и зондирующей линий соответственно:  $\alpha_0 = (\ln 2)^{1/2} (\delta\lambda_L^{(0)} / \delta\lambda_D^{(0)})$ ,  $\alpha_1 = (\ln 2)^{1/2} (\delta\lambda_L^{(1)} / \delta\lambda_D^{(1)})$ . Параметр  $a$  пропорционален измеряемой величине  $Nfl$ :  $a = k (\lambda_0^2 / \delta\lambda_D^{(0)}) Nfl$  (где  $k = (\pi \ln 2)^{1/2} e^2 / (m_e c^2)$ ).

Прежде всего попытаемся получить более простую, чем (2), формулу для сдвига полос  $S$ , точность которой однако была бы сравнима с точностью интерферометрического эксперимента, т. е. не хуже нескольких процентов.

Аналитически продолжив подынтегральную функцию в  $i_{12}$  в верхнюю полу平面 и применив метод перевала [6], получим

$$S \approx \frac{1}{2\pi} \left[ -aI'(\xi_p) - \operatorname{Im} \left( \frac{\xi_p - z_{01}}{g} \right)^2 - \frac{1}{2} \frac{ag^2 I''(\xi_0)}{2 + ag^2 R''(\xi_0)} \right], \quad (5)$$

где  $R(\xi_0) = \operatorname{Re} W(\xi_0)$ ,  $I(\xi) = \operatorname{Im} W(\xi)$ . Комплексная координата точки перевала  $\xi_p$  в этом случае равна

$$\xi_p = \xi_0 - \frac{2(\xi_0 - z_{01}) + ag^2 W'(\xi_0)}{2 + ag^2 R''(\xi_0)},$$

где  $\xi_0$  — решение уравнения  $\xi^3 - z_{01}\xi^2 - iag^2/(2\sqrt{\pi}) = 0$  ( $z_{01} = \Delta + i\alpha_{01}$ ,  $\alpha_{01} = \alpha_0 + g\alpha_1$ ), обладающее следующими свойствами:  $\operatorname{sign} \operatorname{Re} \xi_0 = \operatorname{sign} \Delta$ ,  $\operatorname{Im} \xi_0 \geq \alpha_{01}$ . Для значений параметра  $a \geq a_{\min}$ , где  $S(a_{\min}) = 0.1$ , формула (5) (как показывает сравнение с расчетом по точной формуле (2)) позволяет рассчитывать сдвиг  $S$  с ошибкой, меньшей 5 % при  $\alpha_1 \geq \alpha_0$  в практически наиболее важном случае, когда смещение между исследуемой и зондирующей линиями больше или равно смещению экстремума рефракции исследуемых атомов относительно линии поглощения. Причем в случае равенства этих смещений зондирующая линия должна быть уже или не более чем в 1.5 раза шире исследуемой.

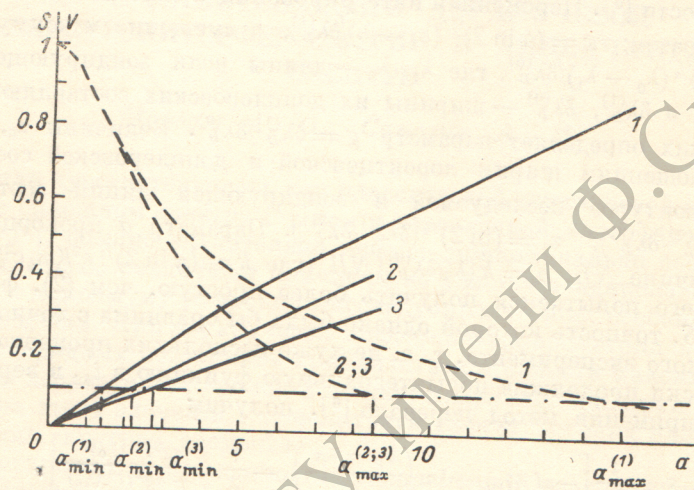
Спецификой нашего метода является соизмеримость ширин  $\delta\lambda_1$  и  $\delta\lambda_0$  линий спектров зондирующего излучения и исследуемого объекта, поэтому в дальнейших расчетах положим  $\chi = \delta\lambda_1 / \delta\lambda_0 = 1$ . При этом введенная выше величина  $g$  отношения ширин допплеровских составляющих фойхтовских контуров зондирующей и исследуемой линий выражается через отношение их ширин  $\chi$  следующим образом:  $g = \chi p(\alpha_0)/p(\alpha_1)$ , где полученная нами аппроксимационная функция  $p = (\ln 2)^{1/2} \delta\lambda / \delta\lambda_D \approx [\ln 2 + \alpha^2 + \alpha \exp(-0.514\alpha)]^{1/2}$  описывает ширину фойхтовского контура волях ширины его допплеровской составляющей с ошибкой, меньшей 2.5 % для любых  $\alpha$ .

Имея общие формулы (1)–(5), мы можем теперь перейти к исследованию условий достижения максимальной чувствительности предлагаемого метода. Расчет показывает, что одним из таких условий является близость положения  $\Delta$

максимума зондирующего контура и положения экстремума рефракции исследуемых атомов:  $\Delta \approx \Delta_3$  (где функцию  $\Delta_3(\alpha_0)$  можно рассчитать по полученной аппроксимационной формуле  $|\Delta_3| \approx [0.85403 + \alpha_0^2 + \alpha_0 \exp(-0.5285\alpha_0)]^{1/2}$  с ошибкой, меньшей 2 % для любых  $\alpha_0$ ).

В этом случае величина сдвига оказывается функцией трех величин: параметра  $a = 0.5 \cdot 10^{-2} p(\alpha_0)(\lambda_0^2/\delta\lambda_0)Nfl$  (где  $\lambda_0$  и  $\delta\lambda_0$  измеряются в Å, а  $Nfl$  в см<sup>-2</sup>), а также отношений ширин лорентцевской и допплеровской составляющих фойхтовских контуров зондирующей  $\alpha_1$  и исследуемой линий  $\alpha_0$ , которые задают форму контуров этих линий (при  $\alpha_0=0$  контур допплеровский, при  $\alpha \rightarrow \infty$  — лорентцевский).

На рисунке представлены рассчитанные по формуле (5) зависимости сдвига полос  $S$  (сплошные кривые) от параметра  $a$  для различных значений  $\alpha_1$ . Из рисунка видно, что с изменением формы зондирующего контура от допплеровской к лорентцевской (при постоянной его ширине) величина сдвига полос уменьшается.



Зависимость сдвига  $S$  и видности  $V$  (штриховые кривые) интерференционных полос от параметра  $a = 0.4163 \cdot 10^{-20} (\lambda_0^2/\delta\lambda_0) Nfl$  для различных по форме, но одинаковых по ширине зондирующих линий.

$\alpha_1: 1 - 0, 2 - 1, 3 - 10$ . Здесь  $\chi = 1$ ,  $\alpha = 0$ ,  $\Delta = \Delta_3$ ,  $m = 1$ ,  $i = 0$ .

шается, т. е. уменьшается чувствительность метода. Уменьшение чувствительности для чисто лорентцевского зондирующего контура по сравнению с допплеровским составляет 1.9 раза.

Аналогично при изменении формы исследуемой линии от допплеровской к лорентцевской чувствительность метода, как следует из такого же расчета, также падает (но не более чем в 1.8 раза). Связано это с уменьшением величины экстремума рефракции исследуемых атомов.

Таким образом, максимальная чувствительность метода достигается при допплеровской форме как зондирующего, так и исследуемого контуров. Полагая, что минимальный измеряемый сдвиг полосы равен 0.1 полосы, из рисунка находим:  $\alpha_{min} \approx 1.4$ . Или для величины  $Nfl$ :  $(Nfl)_{min} \approx 3.36 \cdot 10^{-20} \delta\lambda_0/\lambda_0^2$ . Наименьшее значение  $Nfl$ , которое можно измерить, например, при исследовании атомов с атомным весом  $M_0 = 40$  (кальций) при температуре  $T_0 = 500$  К (т. е.  $\delta\lambda_0 = 0.01$  Å) и  $\lambda_0 = 4000$  Å, составляет величину  $(Nfl)_{min} \approx 2 \cdot 10^{11}$  см<sup>-2</sup>. Тогда как наименьшее значение  $Nfl$ , которое обычно измеряется в классической двухлучевой спектроинтерферометрии, порядка  $10^{13} - 10^{14}$  см<sup>-2</sup> [1].

Очевидно, что предельная чувствительность резонансной интерферометрии достигается при монохроматической зондирующей линии, смещенной относительно исследуемой линии в экстремум рефракции. Наши расчеты показывают, что уширение зондирующей линии от монохроматической до величины, равной ширине исследуемой линии, приводит к тому, что максимальная чувствительность метода становится меньше предельной всего на 30 %.

Практически допплеровской формой контуров обладают линии спектров тлеющего, высокочастотного разрядов и разряда в полом катоде при низком (единицы Тор и меньше) давлении и небольших силах разрядного тока, когда типичные концентрации возбужденных метастабильных атомов инертных газов и атомов металла  $10^{10}$ — $10^{12}$  см $^{-3}$ . В этих условиях предшествующие интерферометрические методы обычно неприменимы из-за их недостаточной чувствительности. Двухлучевая же интерферометрия в линейчатом спектре оказалась достаточно чувствительной и применялась для исследования радиального распределения концентрации атомов кальция в полом катоде [3]. При этом была достигнута совпадающая с рассчитанной выше чувствительность  $(Nfl)_{\min} \approx 2 \cdot 10^{11}$  см $^{-2}$ .

Оценим диапазон измеряемых значений  $Nfl$  при работе в максимуме рефракции. Верхняя граница диапазона определяется значением  $Nfl$ , при котором видность ИК становится недостаточной для интерферометрических измерений, например равной 0.1. На рисунке штриховые линии изображают зависимость видности от параметра  $a$  для различных значений  $\alpha_1$ , рассчитанные по формуле (1) в случае, когда яркости опорного и предметного пучков (до прохождения объекта) равны ( $m=1$ ), а объект слабосветящийся ( $i_3 \ll 1$ ).

Из рисунка видно, что диапазон значений  $Nfl$ , (т. е. отношение  $(Nfl)_{\max}/(Nfl)_{\min} = a_{\max}/a_{\min}$ ), который можно измерить с максимальной чувствительностью предлагаемым методом при допплеровском контуре зондирующей линии, составляет примерно порядок (расчеты показывают, что при удалении от линии поглощения рабочий диапазон метода быстро расширяется). Из рисунка следует также, что при изменении формы зондирующего контура от допплеровской к лорентцевской влияние «крыльев» последнего приводит как к ухудшению чувствительности, так и к уменьшению величины верхней границы метода. При таком же изменении формы исследуемой линии, как показывают расчеты, верхняя граница, наоборот, меняется мало, по-видимому, вследствие того, что изменение видности за счет роста поглощения зондирующей линии объектом отчасти компенсируется уменьшением дисперсии объекта.

Таким образом, в работе показано, что при двухлучевой спектроинтерферометрии в линейчатом спектре может быть реализована чувствительность, близкая к физическому пределу, в достаточно широком диапазоне измеряемых значений  $Nfl$ .

Авторы благодарят А. Г. Жиглинского за постановку задачи и обсуждение результатов.

#### Литература

- [1] Пенкин Н. П. — В кн.: Спектроскопия газоразрядной плазмы. Л., 1969.
- [2] Дрейден Г. В., Зайдель А. Н., Островская Г. В., Островский Ю. И., Победоносцева Н. А., Танин Л. В., Филиппов В. Н., Шедова Е. Н. — Физика плазмы, 1975, т. 1, с. 462.
- [3] Жиглинский А. Г., Морозов А. О., Самохин А. Н., Корзинин Ю. Л., Кунд Г. Г. — В кн.: Физические основы голограмии. Л., 1981.
- [4] Бори М., Вольф Э. Основы оптики. М., 1973.
- [5] Справочник по специальным функциям / Под ред. М. Абрамовича, И. Стиган. М., 1979.
- [6] Федорюк М. В. Метод перевала. М., 1977.

Поступило в Редакцию 27 июня 1984 г.

УДК 539.184.52 : 546.815

Opt. и спектр., т. 58, в. 6, 1985

## РАДИАЦИОННЫЕ ВРЕМЕНА ЖИЗНИ ВОЗБУЖДЕННЫХ СОСТОЯНИЙ РЬ I И РЬ II

Горшков В. Н., Веролайнен Я. Ф.

Настоящая работа посвящена экспериментальному определению значений радиационных времен жизни возбужденных состояний атома и первого иона свинца. В предыдущих работах [1-3] измерялись в основном времена жизни